

О перспективах использования скрученных эллиптических кривых Эдвардса со стандартом ГОСТ Р 34.10-2012 и алгоритмом ключевого обмена на его основе

Алексеев Е.К.

Ошкин И.Б., Попов В.О., Смышляев С.В., Сониная Л.А.

ГОСТ 34.10-2012 и кривые Вейерштрасса

Стандарт ЭП ГОСТ 34.10-2012 требует, чтобы результаты преобразований, связанных с точками эллиптических кривых, были представлены в аффинных координатах на кривой Вейерштрасса.

Использование различных представлений для кривых

Отсутствие требования простоты порядка используемой группы точек эллиптической кривой дает возможность использовать кривые в различных формах.

Использование различных координат

Производительность вычислений увеличивается за счет представления точек в неаффинных координатах. Работа в неаффинных координатах также обусловлена требованиями к построению защищенных программных продуктов.

Формы кривых

Кривая Вейерштрасса

Кривая Эдвардса

Скрученная кривая Эдвардса

Кривая Хессе

Скрученная кривая Хессе

Кривая Монтгомери

Пересечения Якоби

Кватрики Якоби

Формы кривых

Координаты

Кривая Вейерштрасса

Аффинные

Кривая Эдвардса

Проективные

Скрученная кривая Эдвардса

Инвертированные

Кривая Хессе

Расширенные

Скрученная кривая Хессе

Якоби

Кривая Монтгомери

Хессе

Пересечения Якоби

Лопеса-Дахаба

Кватрики Якоби

Якоби-Чудновского

Формы кривых

Координаты

Кривая Вейерштрасса

Аффинные

Кривая Эдвардса

Проективные

Скрученная кривая Эдвардса

Инвертированные

Кривая Хессе

Расширенные

Скрученная кривая Хессе

Якоби

Кривая Монтгомери

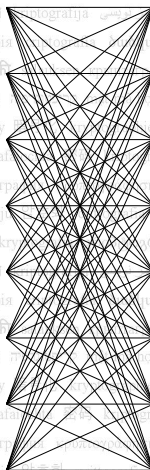
Хессе

Пересечения Якоби

Лопеса-Дахаба

Кватрики Якоби

Якоби-Чудновского



Формы кривых

Координаты

Кривая Вейерштрасса

Скрученная кривая Эдвардса

Кривая Монгюмери

Проективные

Инвертированные

Расширенные

Кривые:

- Кривая Вейерштрасса: $\{(x, y) | y^2 = x^3 + ax + b\}$
- Скрученная кривая Эдвардса: $\{(x, y) | \epsilon x^2 + y^2 = 1 + \delta x^2 y^2\}$
- Кривая Монтгомери: $\{(x, y) | By^2 = x^3 + Ax^2 + x\}$

Координаты:

- Аффинные (\mathcal{A}): $(x_{\mathcal{A}}, y_{\mathcal{A}})$
- Проективные (\mathcal{P}): $(X_{\mathcal{P}}, Y_{\mathcal{P}}, Z_{\mathcal{P}})$, где $x_{\mathcal{A}} = \frac{X_{\mathcal{P}}}{Z_{\mathcal{P}}}$, $y_{\mathcal{A}} = \frac{Y_{\mathcal{P}}}{Z_{\mathcal{P}}}$
- Инвертированные (\mathcal{I}): $(X_{\mathcal{I}}, Y_{\mathcal{I}}, Z_{\mathcal{I}})$, где $x_{\mathcal{A}} = \frac{Z_{\mathcal{I}}}{X_{\mathcal{I}}}$, $y_{\mathcal{A}} = \frac{Z_{\mathcal{I}}}{Y_{\mathcal{I}}}$
- Расширенные (\mathcal{E}): $(X_{\mathcal{E}}, Y_{\mathcal{E}}, Z_{\mathcal{E}}, T_{\mathcal{E}})$, где $x_{\mathcal{A}} = \frac{X_{\mathcal{E}}}{Z_{\mathcal{E}}}$, $y_{\mathcal{A}} = \frac{Y_{\mathcal{E}}}{Z_{\mathcal{E}}}$,
 $x_{\mathcal{A}} \cdot y_{\mathcal{A}} = \frac{T_{\mathcal{E}}}{Z_{\mathcal{E}}}$

Кривые Вейерштрасса

$$y^2 = x^3 + ax + b$$

$x^3 + ax + b$ имеет корень в F_p

$3a^2 + a$ - квадратичный вычет в F_p

a - корень $x^3 + ax + b$

$$a = \frac{1}{b^2} - \frac{A^2}{3B^2} \quad s = \sqrt{3a^2 + a}$$

$$b = \frac{2A^3 - 9A}{27B^3} \quad B = s$$

$$x = \frac{X}{B} + \frac{A}{3B} \quad A = 3as$$

$$y = \frac{Y}{B} \quad X = s(x - a) \quad Y = sy$$

$$BY^2 = X^3 + AX^2 + X$$

$$\epsilon u^2 + v^2 = 1 + \delta u^2 v^2$$

$$v = \frac{X-1}{X+1} \quad u = \frac{Y}{v}$$

$$B = \frac{4}{\epsilon - \delta} \quad X = \frac{1+v}{1-v}$$

$$A = \frac{2(\epsilon + \delta)}{\epsilon - \delta} \quad Y = \frac{4}{(1-v)u}$$

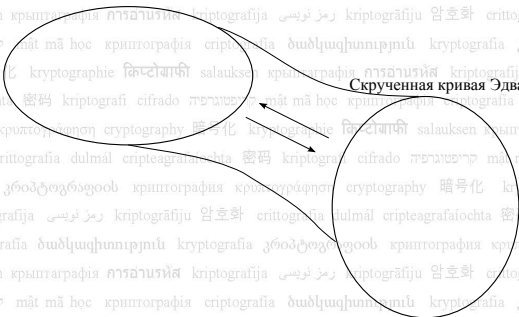
Скрученные кривые

Эдвардса

Кривые Монтгомери

Эквивалентная кривая Вейерштрасса

Скрученная кривая Эдвардса



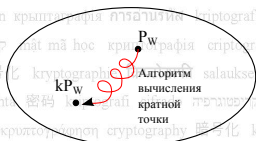
Эквивалентная кривая Вейерштрасса

P_w

Скрученная кривая Эдвардса

Задача: по P_w и k вычислить kP_w

Эквивалентная кривая Вейерштрасса

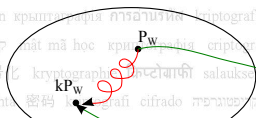


Скрученная кривая Эдвардса

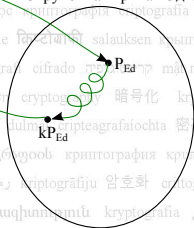


Задача: по P_w и k вычислить kP_w

Эквивалентная кривая Вейерштрасса

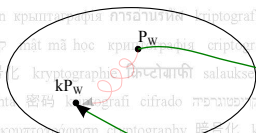


Скрученная кривая Эдвардса

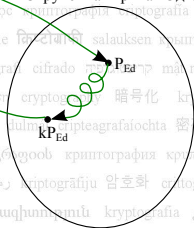


Задача: по P_w и k вычислить kP_w

Эквивалентная кривая Вейерштрасса



Скрученная кривая Эдвардса



Задача: по P_w и k вычислить kP_w

Обозначения

- $x_{\mathcal{A}}^W$ — аффинная x -координата точки на кривой Вейерштрасса
 $W, \mathcal{P} \rightarrow$ — операция перехода от представления в проективных координатах на кривой Вейерштрасса к другому представлению
 TE — скрученная кривая Эдвардса
 W — кривая Вейерштрасса

Трудоемкость операций

	W, \mathcal{P}	TE, \mathcal{P}	TE, \mathcal{I}	TE, \mathcal{E}
Сложение	$12M + 2S$	$10M + 1S$	$9M + 1S$	$9M$
Удвоение	$5M + 6S$	$3M + 4S$	$3M + 4S$	$4M + 4S$
$W, \mathcal{P} \rightarrow$		$1I + 8M$	$1I + 8M$	$1I + 9M$
Вычисление $x_{\mathcal{A}}^W$	$1I + 1M$	$1I + 2M$	$1I + 2M$	$1I + 2M$

D.M.Dygin, S.V.Grebnev «Efficient implementation of the GOST R 34.10 digital signature scheme using modern approaches to elliptic curve scalar multiplication».

Исследовалась эффективность реализации операций подписи и проверки подписи на кривых в формах Вейерштрасса, Хессе, Эдвардса и на скрученных кривых Эдвардса.

	Sign-256	Verify-256	Sign-512	Verify-512
Weierstrass, \mathcal{P}	1.12	1.43	4.23	5.23
Twisted Edwards, \mathcal{E}	0.7	0.98	2.52	3.38

Таблица: Экспериментальные результаты

Криптографические преобразования

Алгоритмы вычисления кратной точки

Операции в группе точек эллиптической кривой

Арифметика в простом конечном поле

Реализация с учетом требований по защищенности

Криптографические
преобразования

Алгоритмы вычисления кратной точки

Операции в группе точек эллиптической кривой

Арифметика в простом конечном поле

Реализация с учетом требований по защищенности

Криптографические преобразования

- * создание подписи
- * проверка подписи
- * согласование ключей

Алгоритмы вычисления кратной точки

- * GomerPC
- * WTNAF
- * FTNAF

Операции в группе точек эллиптической кривой

- * Weierstrass, Projective
- * Twisted Edwards, Projective
- * Twisted Edwards, Inverted
- * Twisted Edwards, Extended

Арифметика в простом конечном поле

 $M=S$
 $I=100M$

Исходные данные

Параметры кривой (в том числе порождающая точка P), ключ подписи d

Алгоритм формирования подписи

- Вход \leftarrow сообщение m
- $h = H(m)$
- $e = h \pmod q$
- $k \in_{\mathbb{R}} \{1, 2, \dots, q - 1\}$
- $r = x_{\mathcal{A}}(k \cdot P) \pmod q$
- $s = r \cdot d + k \cdot e \pmod q$
- Выход \rightarrow подпись $\zeta = (r, s)$

Исходные данные

Параметры кривой, порождающая точка P

Алгоритм проверки подписи

- Вход \leftarrow сообщение m , подпись $\zeta = (r, s)$, ключ проверки подписи Q
- $h = H(m)$
- $e = h \pmod q$
- $v = e^{-1} \pmod q$
- $z_1 = s \cdot v \pmod q, z_2 = -r \cdot v \pmod q$
- $r' = [x_{\mathcal{A}}(z_1 \cdot P + z_2 \cdot Q)] \pmod q$
- Выход \rightarrow верно ли, что $r' = r$

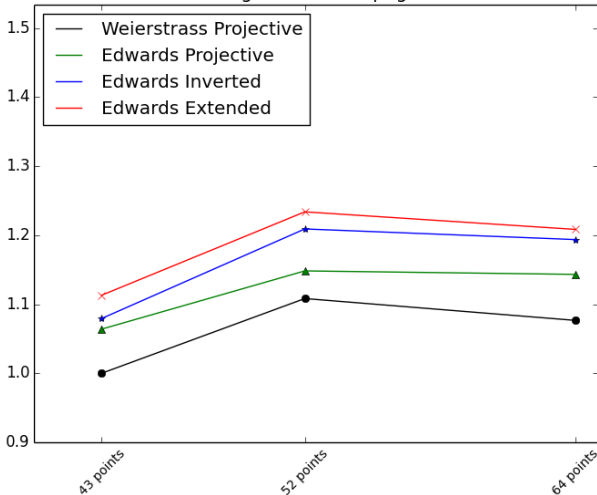
Исходные данные

Параметры кривой, порождающая точка P

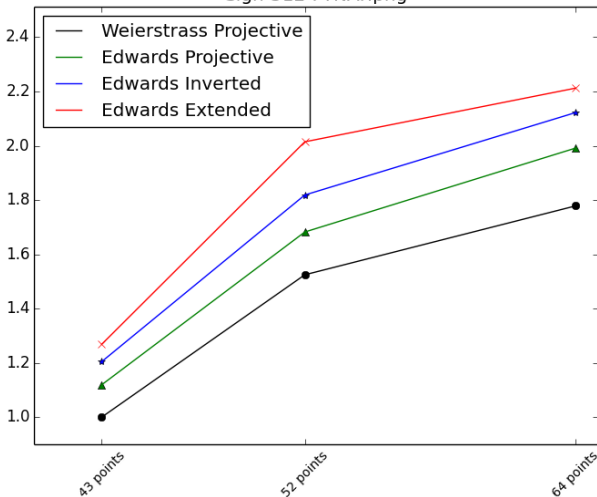
Алгоритм VKO

- Вход \leftarrow точка Q, UKM
- $V = (UKM \cdot d \bmod q) \cdot Q$
- $h = H(V)$
- Выход $\rightarrow h$

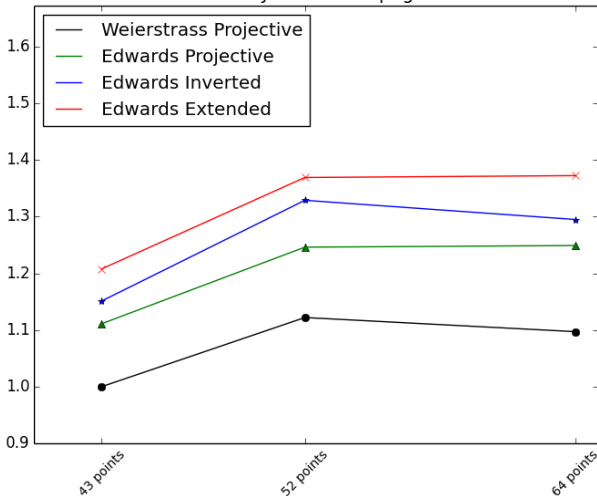
Sign-256-FTNAF.png



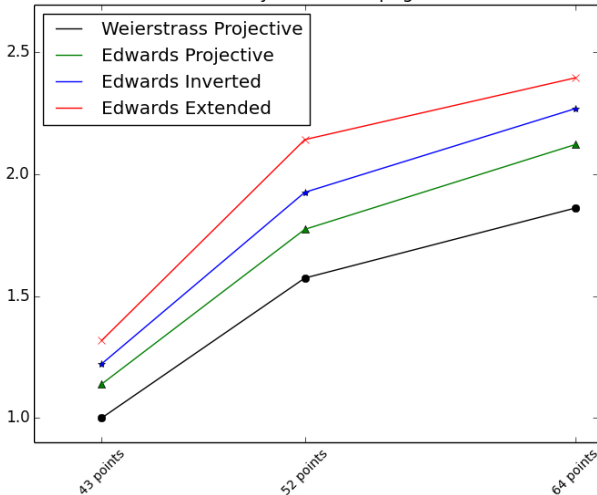
Sign-512-FTNAF.png



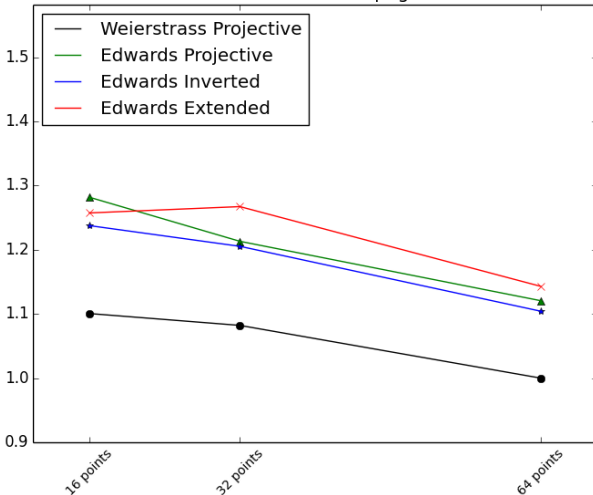
Verify-256-FTNAF.png



Verify-512-FTNAF.png



VKO-256-WTNAF.png



Итоговые соотношения производительностей

Sign-256	Verify-256	VKO-256	Sign-512	Verify-512	VKO-512
+18%	+22%	+14%	+24%	+28%	+22%

Закрытые ключи, контейнеры и сертификаты

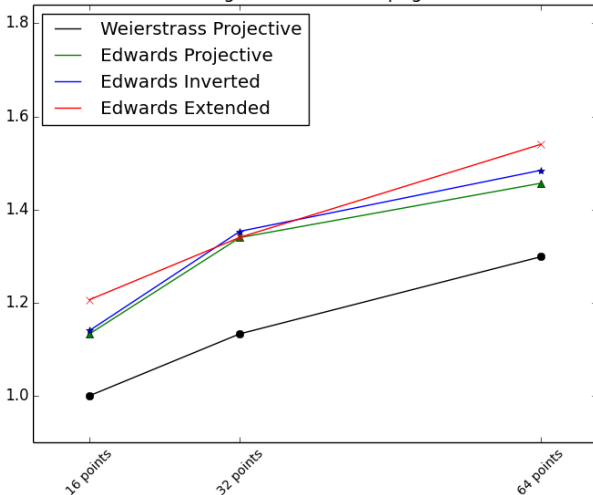
В некоторых случаях бывает необходимо осуществлять проверку соответствия закрытого ключа, хранящегося в контейнере, открытому ключу, указанному в сертификате. При этом открытый ключ в сертификате хранится в аффинных координатах на кривой Вейерштрасса. Это приводит к тому, что при проверке указанного соответствия приходится делать дополнительное преобразование из одного представления в другое, так как предполагается использование одних координат при основных вычислениях из-за нежелательности хранения предвычисленных таблиц двух типов.

Кривые Вейерштрасса простого порядка

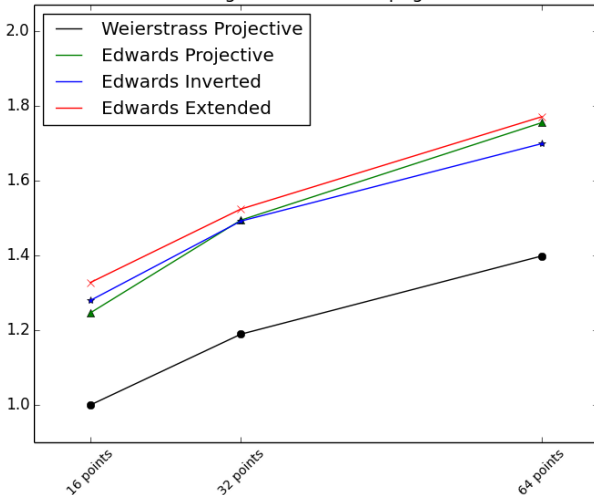
Сейчас в основном используются кривые простого порядка в форме Вейерштрасса. Эквивалентные им скрученные кривые в форме Эдвардса могут существовать только над расширенными полями. Увеличение размера элементов поля нивелирует любое преимущество от использование скрученных кривых Эдвардса.

Спасибо за внимание!

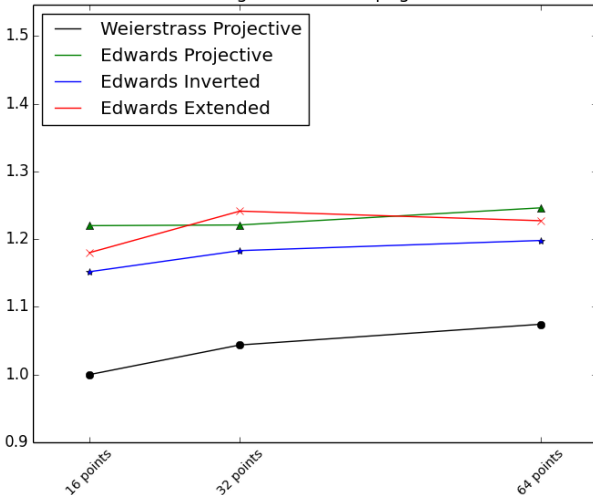
Sign-256-GornerPC.png



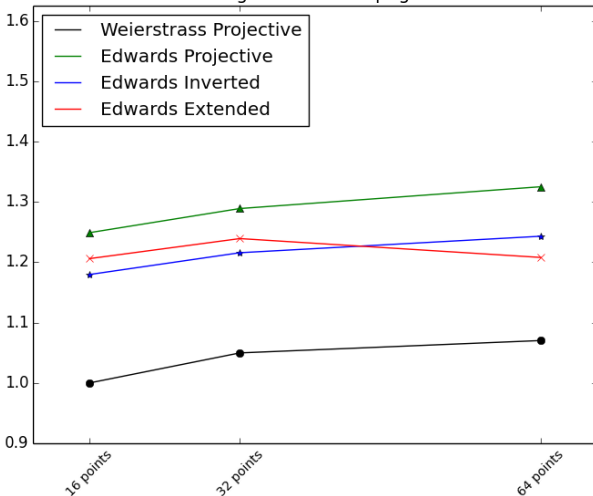
Sign-512-GornerPC.png



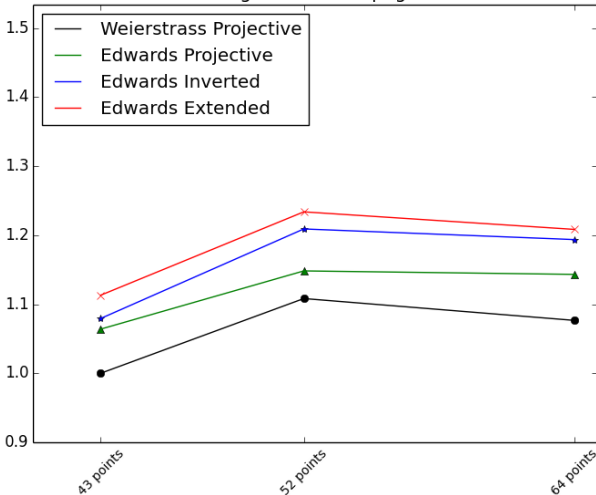
Sign-256-WTNAF.png



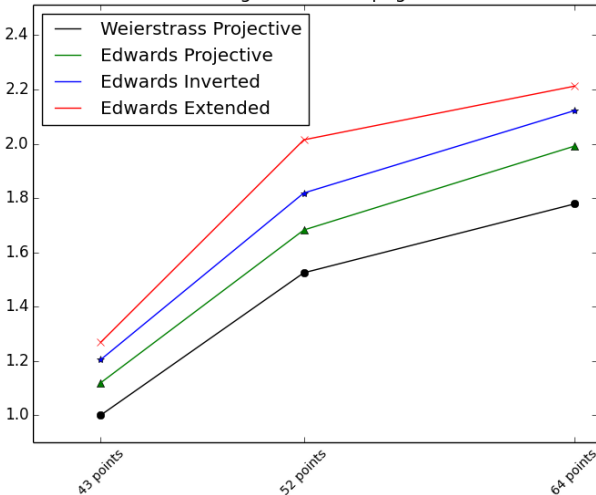
Sign-512-WTNAF.png



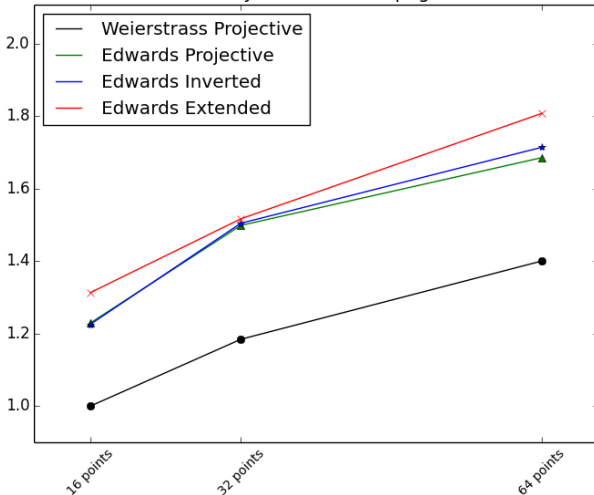
Sign-256-FTNAF.png



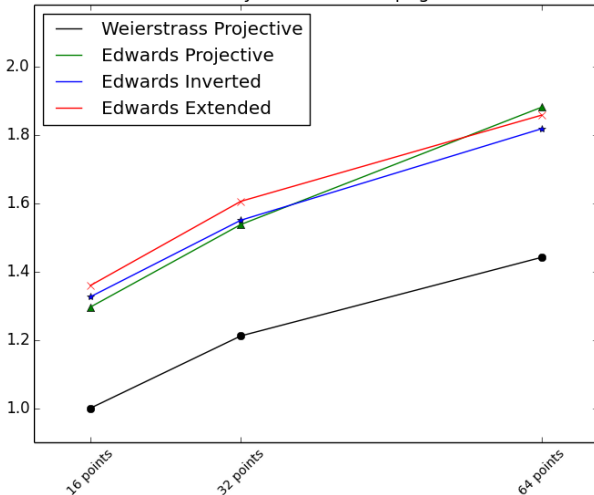
Sign-512-FTNAF.png



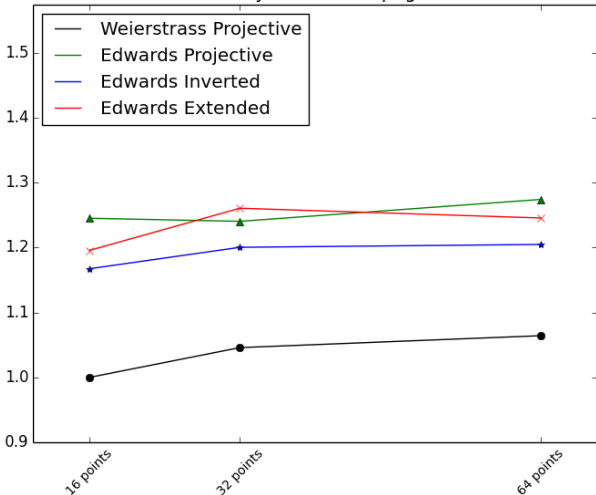
Verify-256-GornerPC.png



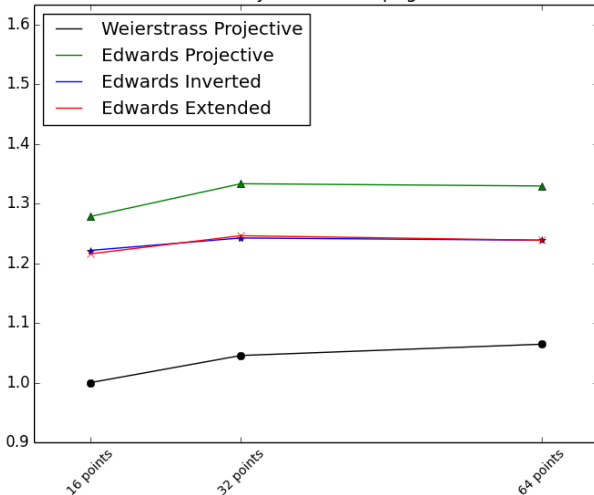
Verify-512-GornerPC.png



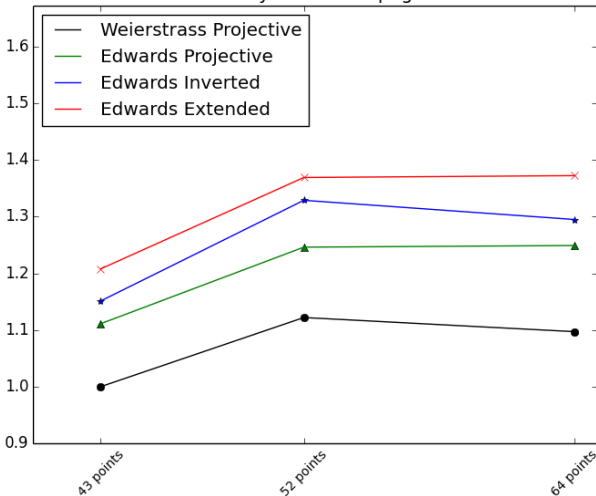
Verify-256-WTNAF.png



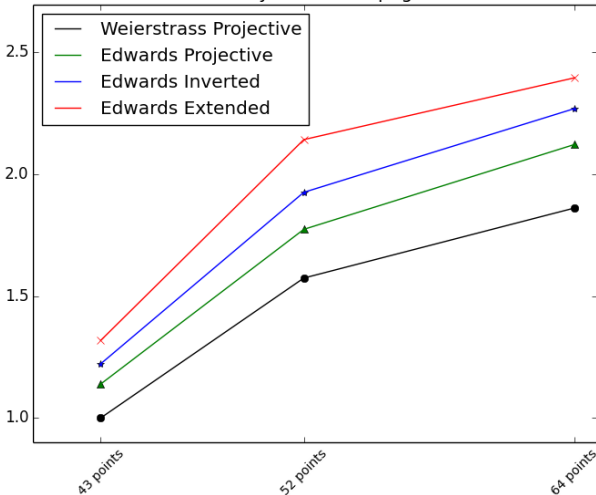
Verify-512-WTNAF.png



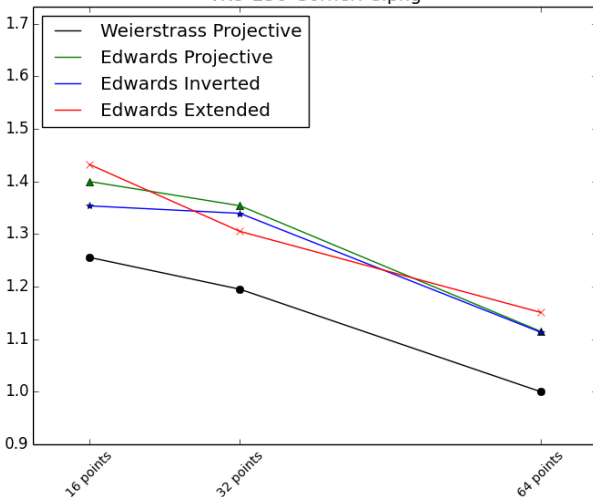
Verify-256-FTNAF.png



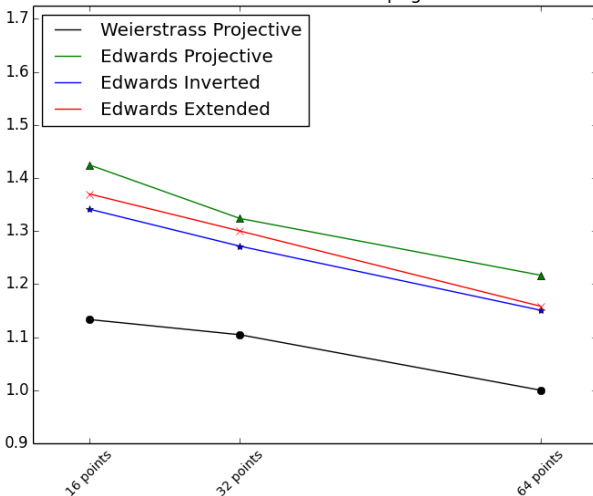
Verify-512-FTNAF.png



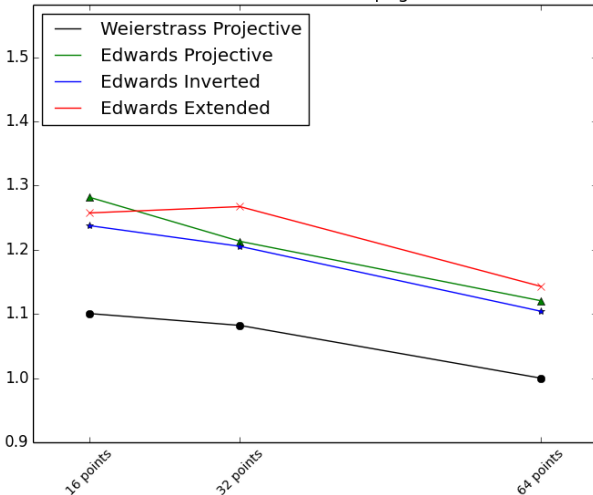
VKO-256-GornerPC.png



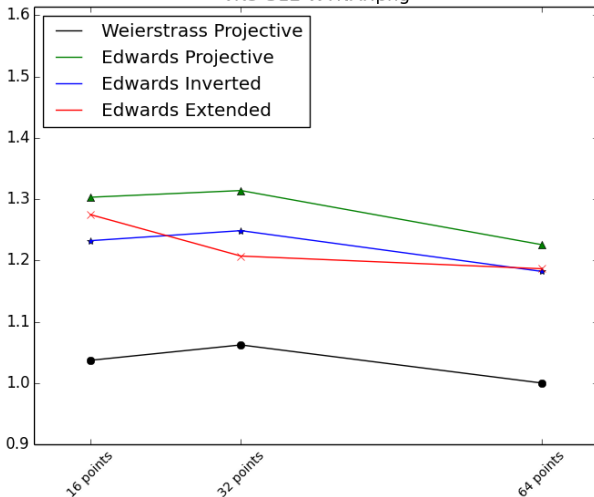
VKO-512-GornerPC.png



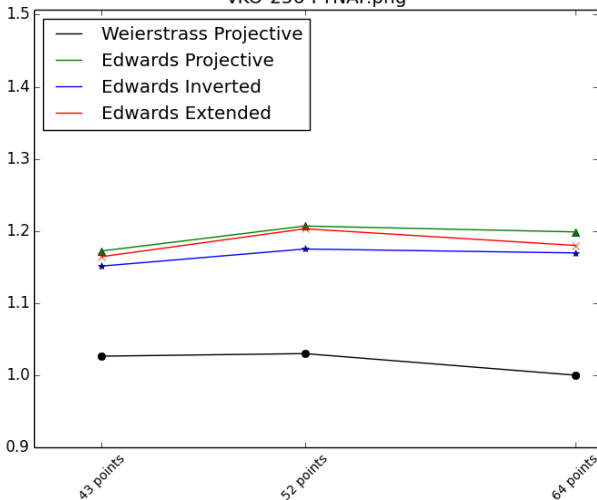
VKO-256-WTNAF.png



VKO-512-WTNAF.png



VKO-256-FTNAF.png



VKO-512-FTNAF.png

